

METODI PER REGOLARIZZARE DIVERGENZE UV

Ci sono diversi metodi per regolare divergenze UV.

È importante considerare quali sono le simmetrie rotte dal regolatore.

• **CUTOFF**: $|k_E| < \Lambda \iff \sqrt{(k^0)^2 + \sum_i (k^i)^2} < \Lambda$

$\int \frac{d^4 k_E}{(2\pi)^4} \rightarrow \int \frac{d^4 k}{(2\pi)^4}$ L'integrale sul momento di loop

viene limitato a valori più piccoli di una certa scala Λ . Poi si prende il limite $\Lambda \rightarrow \infty$.

+ È molto intuitivo

- Rompe sia simm. di Lorentz (boost) che di gauge.

• PAULI - VILLARS

Ad ogni particella di massa m se ne aggiunge una analoga "fantasma" di massa Λ e di statistica opposta \Rightarrow segno opposto nel contributo a un loop.

E.g.

$$\int \frac{d^4 k}{(2\pi)^4} \frac{1}{(k^2 - m^2 + i\epsilon)^2} \rightarrow \int \frac{d^4 k}{(2\pi)^4} \left(\frac{1}{(k^2 - m^2 + i\epsilon)^2} - \frac{1}{(k^2 - \Lambda^2 + i\epsilon)^2} \right) = \dots = -\frac{i}{16\pi^2} \log \frac{m^2}{\Lambda^2}$$

+ È una chiara deformazione della teoria nell'ultravioletto

- Richiede di aggiungere tante particelle in diagrammi a molti loop

- Un termine di massa per un vettore rompe la simmetria di gauge

• REGOLARIZZAZIONE DIMENSIONALE (dim-reg) [S.B.3]

È il metodo di gran lunga più utilizzato, introdotto da 't Hooft e Veltman nel 1972.

Generalizziamo il numero di dimensioni dello spaziotempo da $4 \Rightarrow d \in \mathbb{C}$ continuazione analitica

$$\int \frac{d^4 k}{(2\pi)^4} \frac{1}{(k^2 - M^2 + i\epsilon)^2} \Rightarrow \int \frac{d^d k}{(2\pi)^d} \int_0^\infty dk \frac{k^{d-1}}{(k^2 - M^2 + i\epsilon)^2} \stackrel{UV}{\sim} \int_0^\infty dk \frac{k^{d-1}}{k^4}$$

diverge solo per $d \geq 4$.

Prendiamo quindi $d = 4 - \epsilon$, con $\epsilon > 0$.

Tutti gli integrali di loop diventano finiti, la divergenza corrisponde ad un polo $\frac{1}{\epsilon}$ per $\epsilon \rightarrow 0$.

+ Preserva tutte le simmetrie della teoria,

+ Applicabile a calcoli multi-loop,

- Meno intuitivo degli altri metodi.

CONTABILITÀ DELLE DIVERGENZE ULTRAVIOLETTE

[PS. 10.1, S. 21]

Vogliamo capire quali diagrammi di Feynman sono divergenti e quali no.

Cominciamo considerando la QED.

Un diagramma qualsiasi sarà caratterizzato da

N_e - elettroni esterni

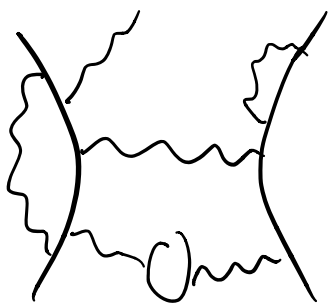
N_γ - fotoni esterni

$P_{e,\gamma}$ - propagatori fermionici/fotonici

V - numero di vertici

L - numero di loop

Un diagramma qualsiasi avrà:



$$\sim \int \frac{d^4 k_1 \dots d^4 k_L}{(k_i - m) \dots k_j^2 \dots k_n^2}$$

Ogni loop porta un $\int d^4 k \sim k^4$ come divergenza UV

Ogni propagatore fermionico $\sim \frac{1}{k}$
" fotonico $\sim \frac{1}{k^2}$

\Rightarrow Il diagramma diverge se, mettendo tutto insieme, il diagramma va con una potenza non-negativa di k .

Definiamo il **GRADO DI DIVERGENZA SUPERFICIALE**

$$D = (\text{potenze di } k \text{ al numeratore}) - (\text{potenze di } k \text{ al denominatore}) = \\ = 4L - P_e - 2P_r$$

Naivamente:

⇒ Il diagramma diverge come Λ^D Λ : cutoff
Nota che Λ^0 corrisponde a $\log \Lambda$ ($\int_0^\Lambda \frac{dk}{k} \sim \log \Lambda$)
Il diagramma è finito se $D < 0$.

In realtà, i diagrammi a livello albero hanno $D=0$ ma sono finiti, alcuni diagrammi possono avere un sotto-diagramma divergente anche se il diagramma complessivo ha $D < 0$.

Possiamo però ridurci a diagrammi con le linee esterne amputate, e di tipo 1PI (irriducibili a 1 particella), dato che tutti i diagrammi connessi sono formati da un albero di diagrammi 1PI.

Notiamo che $L = P_e + P_\gamma - V + 1$

⇒ Ogni propagatore ha un $\int d^4k$, ogni vertice una $\delta^4(\dots)$ ed una $\delta^4(\dots)$ e la conservazione del momento globale.

Inoltre: $V = 2P_\gamma + N_\gamma = \frac{1}{2}(2P_e + N_e)$

dato che i vertici sono $\int d^4k$ e propagatori sono collegati a 2 vertici.

⇒ $D = 4(P_e + P_\gamma - V + 1) - P_e - 2P_\gamma =$

$D = 4 - N_\gamma - \frac{3}{2}N_e$

Un numero limitato di diagrammi ha $D \geq 0$:

$D=4$
Diag. vuoto-vuoto
Si cancella in $Z[0]$

$D=3$
↓
 $=0$ per Lorentz

$D=2$
↓ $\rightarrow (g^{\mu\nu}q^2 - q^\mu q^\nu) \log \Lambda$
Sono divergenti
logaritmicamente

$D=1$
↓
Teorema di Furry
(per coniugazione di carica)

$D=0$
↓
La parte div. è nulla
per id. di Ward

$D=1$
~ $A \not{p} \log \Lambda + B m \log \Lambda$

$D=0$ ~ $\log \Lambda$

Date le simmetrie della QED, solamente 3 hanno divergenze rilevanti alla fenomenologia, e sono divergenze logaritmiche, mentre un quarto diagramma divergente è l'energia del vuoto.

⇒ Una volta regolarizzati queste poche ampiezze, tutte le altre daranno risultati FINITI.

Nota che il nr. di diagrammi divergenti è molto più alto e aumenta ad ogni ordine in th. delle perturbazioni.

POSSIAMO CLASSIFICARE LE TEORIE IN:

• TEORIE SUPER-RINORMALIZZABILI

Un numero finito di diagrammi di Feynman è divergente.

• TEORIE RINORMALIZZABILI

Un numero finito di ampiezze sono superficialmente divergenti.

• TEORIE NON-RINORMALIZZABILI

Tutte le ampiezze sono divergenti se andiamo ad un ordine sufficientemente alto in teoria delle perturbazioni.

Consideriamo la teoria di uno scalare in d dimensioni dello spazio tempo, con lagrangiana:

$$\mathcal{L} = \frac{1}{2} (\partial_\mu \phi)^2 - \frac{1}{2} m^2 \phi^2 - \frac{g}{u!} \phi^u$$

$$\left\{ \begin{array}{l} L = P - V + 1 \\ uV = N + 2P \end{array} \right.$$

L : # loop
 P : # propagatori
 V : # vertici
 N : # gambe esterne

$$\Delta = dL - 2P = d + \left[u \left(\frac{d-2}{2} \right) - d \right] V - \left(\frac{d-2}{2} \right) N$$

- $d=4$ e $u=4$: $\Delta = 4 - N$ rinormalizzabile
- $d=4$ e $u=6$: $\Delta = 4 - N + 2V$ non-rinormalizzabile
- $d=4$ e $u > 4$: non-rinormalizzabile
- $d=3$ e $u=6$: $\Delta = 3 - \frac{N}{2}$ rinormalizzabile
- $d=3$ e $u=4$: $\Delta = 3 - \frac{N}{2} - V$ super-rinormalizzabile

\Rightarrow Per essere rinormalizzabile è necessario che

$$u \left(\frac{d-2}{2} \right) - d \leq 0$$

Questo corrisponde alla richiesta che l'accoppiamento g abbia dimensioni in energia ϵ^{Δ} con $\Delta \geq 0$.

SCALING CON L'ENERGIA

Dato un termine X che scala come E^Δ

definiamo: $[X] \equiv \Delta$

L'azione è adimensionale (scala come t^0): $[S] = 0$.

Dato $[d^d x] = -d$ e $S = \int d^d x \mathcal{L} \Rightarrow [\mathcal{L}] = d$.

Dal termine cinetico:

$$\left[\frac{1}{2} (\partial_\mu \phi)^2 \right] = 2 + 2[\phi] \equiv d \rightarrow [\phi] = \frac{d-2}{2} \quad [\phi] = 1 \text{ in } d=4$$

Prendiamo l'interazione:

$$[\lambda \phi^n] = [\lambda] + n[\phi] = [\lambda] + n \left(\frac{d-2}{2} \right) \equiv d$$

$$[\lambda] = d - n \left(\frac{d-2}{2} \right)$$

Quindi λ è adimensionale per $d=4$ e $n=4$

Il grado di divergenza superficiale è quindi

$$D = d - [\lambda]V - \left(\frac{d-2}{2} \right) N$$

\Rightarrow La teoria è rinormalizzabile per $[\lambda] \geq 0$

Questo è generalizzabile per particelle ed accoppiamenti qualsiasi. Per $d=4$: [Se. 3.1]

N_f : # gambe esterne di un campo di spin S_f

V_i : # vertici con accoppiamento g_i , del tipo

$$\mathcal{L} \supset g_i \int d^4x \prod_f \phi_f^{n_{if}}$$

$[g_i] = 4 - d_i - \sum_f n_{if} (S_f + 1) \Rightarrow$ dimensione dell'accoppiamento g_i

$$D = 4 - \sum_f N_f (S_f + 1) - \sum_i V_i [g_i]$$

- Se tutti i $[g_i] > 0 \Rightarrow$ la teoria è SUPER-RINORMALIZZABILE
- Se tutti i $[g_i] \geq 0 \Rightarrow$ la teoria è RINORMALIZZABILE
- Se anche un solo $[g_i] < 0 \Rightarrow$ NON RINORMALIZZABILE